

### 问题一

一维随机行走问题：设一人初始时刻位于坐标原点，之后每个时间单位等概率地向左或向右移动一步，记为一个单位长度。给出 $t$ 步后，其各可能位移值的概率、平均位移、位移的方差的解析值，并与数值结果比较。当足够大时，该结果可用中心极限定理解释，将数值结果与中心极限定理结果进行比较。

解：

#### 理论值：

该人的位移值  $L = x_1 + \cdots + x_t$ 。其中  $x_i$  满足伯努利分布，其平均值为  $\overline{x_i} = 0$ ，方差  $Var(x_i) = 1$ 。当  $t$  足够大时，根据中心极限定理，位移值的平均值应为  $\overline{L} = 0$ ，方差应为

$Var(L) = t$ ，且位移值的概率满足如下高斯分布： $f_i(L) = \frac{1}{\sqrt{2\pi t}} e^{-\frac{L^2}{2t}}$ 。

#### 解析值：

根据上述的几个解析解，包括位移值的平均值、方差以及概率分布，我们通过以下数值实验进行验证： $t$  从 1000 个单位长度开始，每次递增 1000 个单位长度到 10000 单位长度，每个  $t$  单独的取 1000 次随机行走的模拟，取系综平均，分别验证上述的解析解。结果如图 1-4 所示。

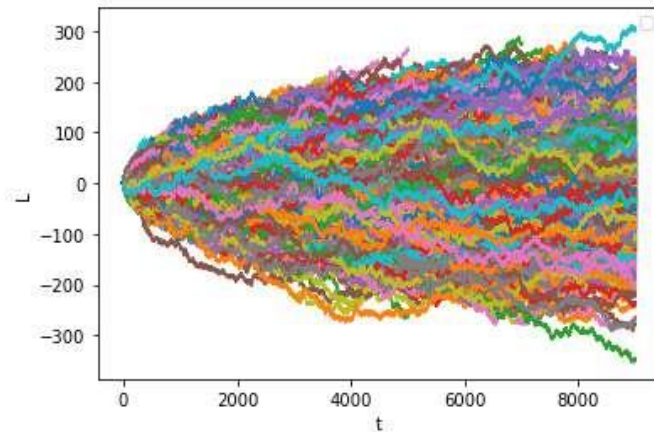


图 1 随机行走数值模拟，横轴为行走步数  $t$ ，纵轴为位移值  $L$

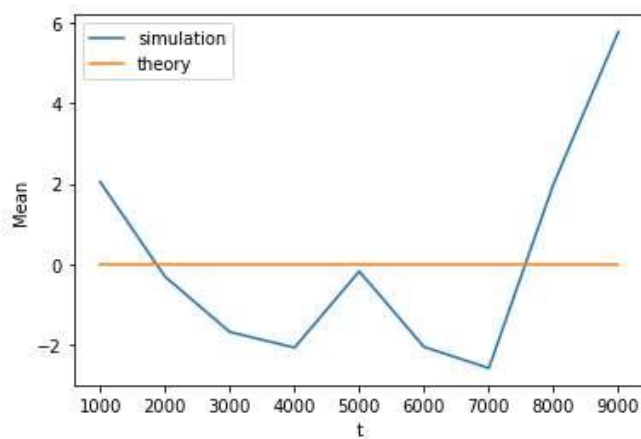


图 2 位移值的平均值随行走步数的关系，横轴为行走步数  $t$ ，纵轴为位移值的方差，蓝色线为模拟，橙色线为理论值

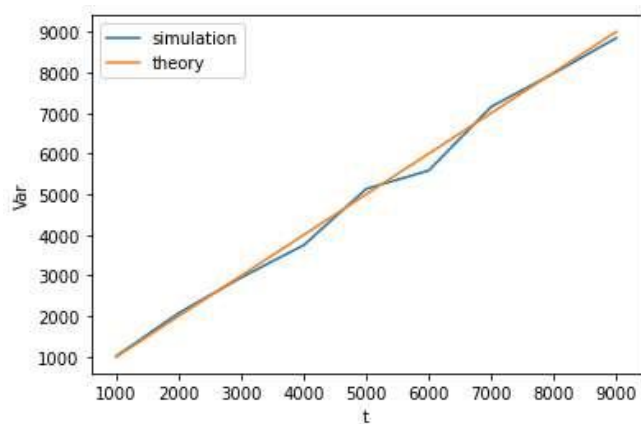


图 3 位移值的方差随行走步数的关系，横轴为行走步数  $t$ ，纵轴为位移值的方差，蓝色线为模拟，橙色线为理论值

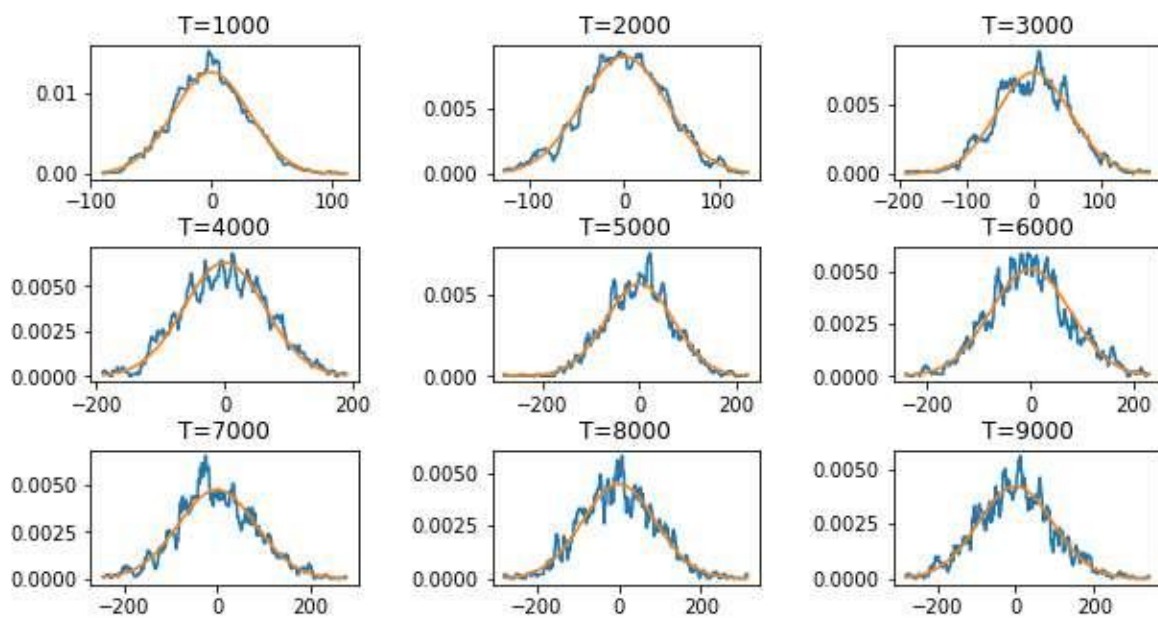


图 4 位移值的概率分布随行走步数的关系，横轴为位移值，纵轴为概率，蓝色线为模拟，橙色线为理论值，每个子图对应的行走步数位于子图的上方

注意到图 2 的偏差似乎比较大，但是一方面来说其绝对误差不大，在理论值上下徘徊。其二与我们取平均的系综数有关，图 5 补充了取平均的系综数为 100000 的结果，对比上面的 1000 个系综的结果，精度应该上升一位（数据量大了 100 倍，根据中心极限）。

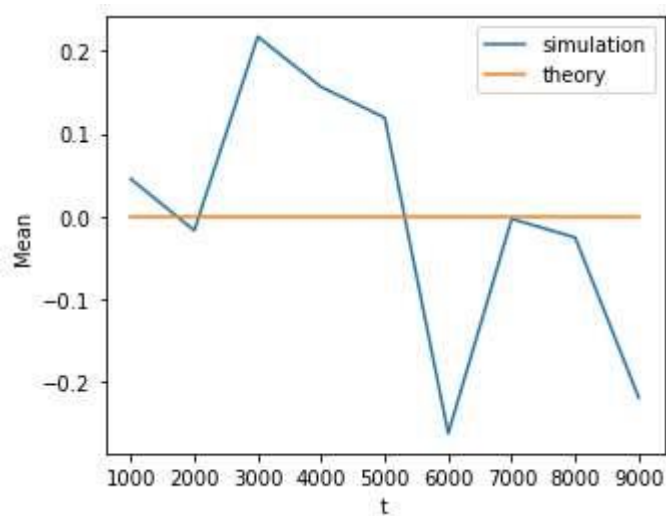


图 5 系综数为 100000 时，位移值的平均值随行走步数的关系，横轴为行走步数  $t$ ，纵轴为位移值的方差，蓝色线为模拟，橙色线为理论值

## 问题二

设物理量  $A$  随时间的变化是

$$A(\tau) = A_0 \cos(2\pi\tau), \quad (A_0 = 1)$$

物理量  $B$  随时间的变化是

$$B(\tau) = B_0 r, \quad (B_0 = 1)$$

其中  $r$  是一个均匀分布于 (0,1) 的随机变量，计算  $\varphi_A(t)$ 、 $\varphi_B(t)$ ，比较  $\langle A_i A_j \rangle$  与  $\langle A^2 \rangle$ ，并在可能的情况下和相应的理论值进行比较。

解：

理论值：

$$\begin{aligned}
\varphi_A(t) &= \frac{\langle A(0)A(t) \rangle - \langle A \rangle^2}{\langle A^2 \rangle - \langle A \rangle^2} \\
&= \frac{\lim_{T \rightarrow \infty} \frac{1}{T} \int_{\tau_0}^{\tau_0+T} A(\tau_0)A(\tau_0+t) d\tau_0 - \left[ \lim_{T \rightarrow \infty} \frac{1}{T} \int_{\tau_0}^{\tau_0+T} A(\tau_0) d\tau_0 \right]^2}{\lim_{T \rightarrow \infty} \frac{1}{T} \int_{\tau_0}^{\tau_0+T} A^2(\tau_0) d\tau_0 - \left[ \lim_{T \rightarrow \infty} \frac{1}{T} \int_{\tau_0}^{\tau_0+T} A(\tau_0) d\tau_0 \right]^2} \\
&= \frac{\lim_{T \rightarrow \infty} \frac{1}{T} \int_{\tau_0}^{\tau_0+T} \cos(2\pi\tau_0)\cos(2\pi\tau_0+2\pi t) d\tau_0 - \left[ \lim_{T \rightarrow \infty} \frac{1}{T} \int_{\tau_0}^{\tau_0+T} \cos(2\pi\tau_0) d\tau_0 \right]^2}{\lim_{T \rightarrow \infty} \frac{1}{T} \int_{\tau_0}^{\tau_0+T} \cos^2(2\pi\tau_0) d\tau_0 - \left[ \lim_{T \rightarrow \infty} \frac{1}{T} \int_{\tau_0}^{\tau_0+T} \cos(2\pi\tau_0) d\tau_0 \right]^2} \\
&= \frac{\lim_{T \rightarrow \infty} \frac{1}{T} \int_{\tau_0}^{\tau_0+T} \cos(2\pi\tau_0)[\cos(2\pi\tau_0)\cos(2\pi t) - \sin(2\pi\tau_0)\sin(2\pi t)] d\tau_0 - \left[ \lim_{T \rightarrow \infty} \left[ \frac{1}{2T\pi} \cos(2\pi\tau_0) - \frac{1}{2T\pi} \cos(2\pi\tau_0 + 2\pi T) \right] \right]^2}{\lim_{T \rightarrow \infty} \frac{1}{T} \int_{\tau_0}^{\tau_0+T} \frac{1 + \cos(4\pi\tau_0)}{2} d\tau_0 - \left[ \lim_{T \rightarrow \infty} \left[ \frac{1}{2T\pi} \cos(2\pi\tau_0) - \frac{1}{2T\pi} \cos(2\pi\tau_0 + 2\pi T) \right] \right]^2} \\
&= \frac{\lim_{T \rightarrow \infty} \frac{1}{T} \int_{\tau_0}^{\tau_0+T} \cos(2\pi\tau_0)[\cos(2\pi\tau_0)\cos(2\pi t) - \sin(2\pi\tau_0)\sin(2\pi t)] d\tau_0}{1+1} \\
&= \frac{1}{4} \cos(t)
\end{aligned}$$

$$\begin{aligned}
\varphi_B(t) &= \frac{\langle B(0)B(t) \rangle - \langle B \rangle^2}{\langle B^2 \rangle - \langle B \rangle^2} \\
&= \frac{\lim_{T \rightarrow \infty} \frac{1}{T} \int_{\tau_0}^{\tau_0+T} B(\tau_0)B(\tau_0+t) d\tau_0 - \frac{1}{4}}{\lim_{T \rightarrow \infty} \frac{1}{T} \int_{\tau_0}^{\tau_0+T} B^2(\tau_0) d\tau_0 - \frac{1}{4}} = \frac{\lim_{T \rightarrow \infty} \frac{1}{T} \int_{\tau_0}^{\tau_0+T} B(\tau_0)B(\tau_0+t) d\tau_0 - \frac{1}{4}}{\lim_{T \rightarrow \infty} \frac{1}{T} \int_{\tau_0}^{\tau_0+T} B^2(\tau_0) d\tau_0 - \frac{1}{4}} \\
&= \frac{\lim_{T \rightarrow \infty} \frac{1}{T} \int_{\tau_0}^{\tau_0+T} B(\tau_0)B(\tau_0+t) d\tau_0 - \frac{1}{4}}{\frac{1}{3} - \frac{1}{4}} = \frac{\lim_{T \rightarrow \infty} \frac{1}{T} \int_{\tau_0}^{\tau_0+T} B(\tau_0)B(\tau_0+t) d\tau_0 - \frac{1}{4}}{\frac{1}{12}} = ? \quad ?
\end{aligned}$$

模拟值：

图 6-7 展示了  $\varphi_A(t)$ 、 $\varphi_B(t)$  的数值模拟计算值。

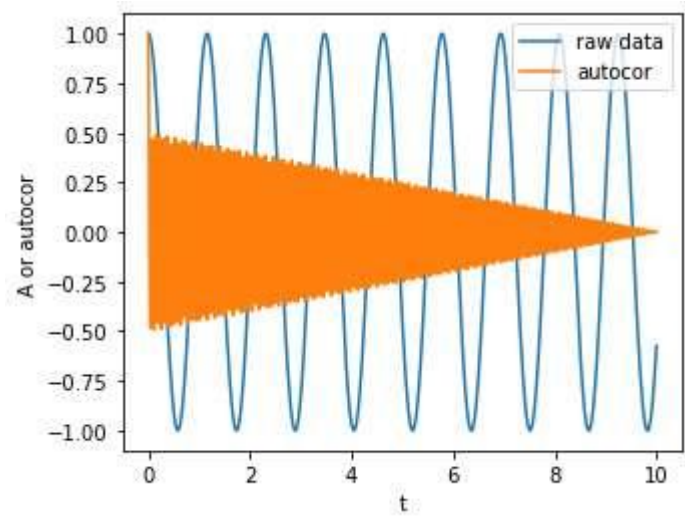


图 6  $\varphi_A(t)$  的数值模拟计算值

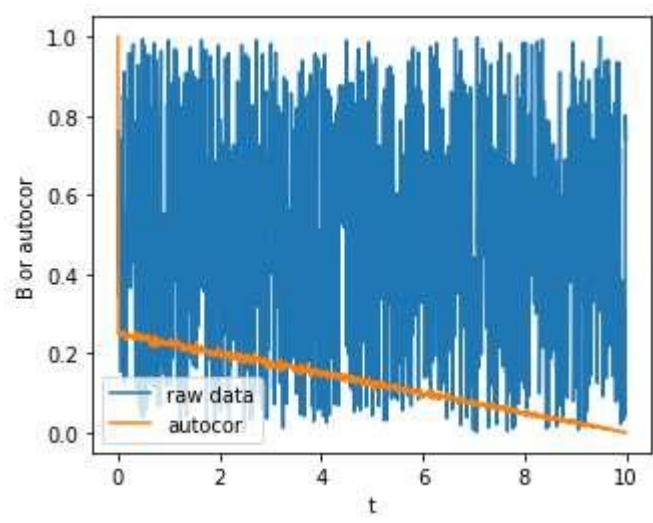


图 7  $\varphi_B(t)$  的数值模拟计算值